

工程力学 一第八章 轴向拉伸与压缩

## 第八章 轴向拉伸与压缩

### § 8-7 胡克定律与拉压杆的变形

2

工程力学 一第八章 轴向拉伸与压缩

思考：为什么要研究变形？下述问题是否与变形相关？

- 各杆内力？
- A点位移？是否与力  $F$  同方向？

3

工程力学 一第八章 轴向拉伸与压缩

### § 8-7 胡克定律与拉压杆的变形

杆件受轴向载荷时，其轴向与横向尺寸均发生变化。

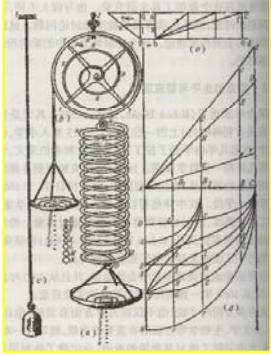
- 纵向变形：杆件沿轴向或载荷方向的变形
- 横向变形：垂直于轴向或载荷方向的变形

纵向变形  $\Delta l = l_1 - l$     纵向正应变  $\varepsilon = \frac{\Delta l}{l}$

横向变形  $\Delta b = b_1 - b$     横向正应变  $\varepsilon' = \frac{\Delta b}{b}$

4

工程力学 一 第八章 轴向拉伸与压缩



Robert Hooke (1635~1703), 英国科学家。少时热爱制作活动玩具与画图, 18岁在牛津基督教堂充当唱诗班指挥员, 27岁获得工艺学硕士, 之后致力于显微术, 29岁成为Gresham学院的几何学教授。他一生中完成大量的实验、发明与新仪器。其中著名成果包括:

1. 载荷大小与变形的关系;
2. 弹性能的概念;
3. 万有引力与惯性的概念;
4. 光的横向振动;
5. 梁弯曲实验中纵向纤维的变形。

胡克的弹性实验装置

中国郑玄 (127-200) 在《考工记》的注就提到弓的“每加物一石, 则张一尺”。唐初贾公考有对此做了详细解释。

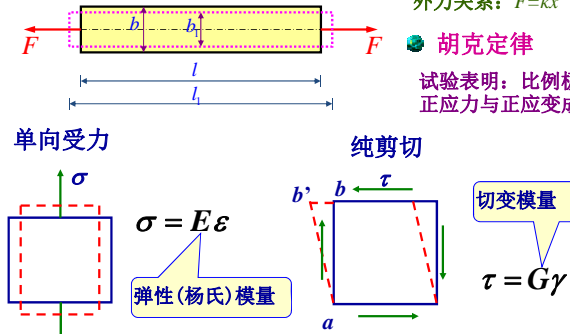
工程力学 一 第八章 轴向拉伸与压缩

### 一、纵向变形与胡克定律

回顾物理弹簧伸长量与外力关系:  $F=kx$

**胡克定律**

试验表明: 比例极限内, 正应力与正应变成正比



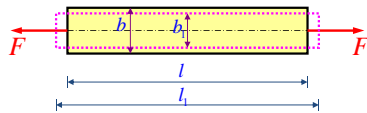
单向受力:  $\sigma = E\varepsilon$  (弹性(杨氏)模量)

纯剪切:  $\tau = G\gamma$  (切变模量)

胡克定律

剪切胡克定律

工程力学 一 第八章 轴向拉伸与压缩



• 轴向变形  $\Delta l = l_1 - l$  (伸长为正)

弹性模量

$$\sigma = E\varepsilon \quad (\sigma \leq \sigma_p)$$

$$\sigma = \frac{F_N}{A}, \quad \varepsilon = \frac{\Delta l}{l}$$

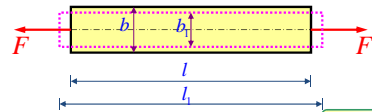
$$\frac{F_N}{A} = E \frac{\Delta l}{l} \Rightarrow \Delta l = \frac{F_N l}{EA}$$

拉压刚度

• 适用范围: 线弹性体、比例极限内

工程力学 一 第八章 轴向拉伸与压缩

### 二、拉压杆的轴向变形与泊松比



$\Delta b = b_1 - b$

横向正应变  $\varepsilon' = \frac{\Delta b}{b}$

试验表明: 对传统材料, 在比例极限内,  $\varepsilon' \propto \varepsilon$  且异号。

定义:  $\mu = -\frac{\varepsilon'}{\varepsilon} \quad (0 \leq \mu \leq 0.5), \mu$  —— 泊松比



### ➤ 泊松 (1781-1840)

西莫恩·德尼·泊松是法国数学家、几何学家和物理学家。1798年入巴黎综合工学校，成为拉格朗日、拉普拉斯的得意门生。1806年任该校教授（21岁），1812年当选为巴黎科学院院士（31岁）……



数学中以他的名字命名的有：

泊松定理、泊松公式、泊松方程、泊松分布、泊松过程、泊松积分、泊松级数、泊松变换、泊松代数、泊松比、泊松流、泊松核、泊松括号、泊松稳定性、泊松积分表示、泊松求和法……

9



### ➤ 关于泊松比

- ➔ 1821年，纳维首次用分子理论研究各向同性弹性体的平衡问题，其基本方程中只包含一个弹性常数。
- ➔ 1825年，柯西把纳维的理论推广到各向异性弹性体，当退化到各向同性弹性体时得到两个弹性常数。但柯西认为纳维的**单常数理论**才是正确的。
- ➔ 1829年，泊松用纳维—柯西方法讨论板的平衡问题时指出，各向同性弹性杆受到单向拉伸，产生纵向应变，同时会联带产生横向收缩，此横向应变为 $-\mu\varepsilon_x$ ，并证明 $\mu=1/4$ 。**纳维—柯西—泊松的单常数理论**

10



- ➔ 1833年，格林研究电磁波在弹性介质表面上的反射与折射时，首次用能量法证明，各向同性弹性材料的应变能函数中应当包括两个弹性常数。
- ➔ 许多人通过试验来验证泊松比为1/4的理论结论  
维尔泰姆(1848)：试验结果表明 $\mu$ 接近1/3；  
基尔霍夫(1859)：测出了三种钢材和两种黄铜， $\mu \neq 1/4$ ；  
科尔纽(1869)：光学干涉法测出玻璃 $\mu=0.237$ ；
- ➔ 1879年，马洛克测出了一系列材料的泊松比，指出泊松比是独立的材料常数，否定了单常数理论。

11



### 典型材料常数

弹性常数	钢与合金钢	铝合金	铜	铸铁	木(顺纹)
$E/GPa$	200-220	70-72	100-120	80-160	8-12
$\mu$	0.25-0.30	0.26-0.34	0.33-0.35	0.23-0.27	


对于各向同性材料，三个材料常数存在如下关系：

$$G = \frac{E}{2(1 + \mu)}$$

12

工程力学 第八章 轴向拉伸与压缩

例：已知 $E, D, d, F$ ，求 $D$ 和 $d$ 的改变量。




思考：当圆管受拉时，外径减小，内径增大还是减小？

13

工程力学 第八章 轴向拉伸与压缩

例：已知 $E, D, d, F$ ，求 $D$ 和 $d$ 的改变量。



解：
$$\varepsilon = \frac{\sigma}{E} = \frac{F}{AE} = \frac{4F}{\pi(D^2 - d^2)E} \quad \varepsilon' = -\mu\varepsilon = -\frac{4\mu F}{\pi(D^2 - d^2)E}$$

$$\Delta d = \varepsilon' d = -\frac{4\mu F d}{\pi(D^2 - d^2)E} \quad \Delta D = \varepsilon' D = -\frac{4\mu F D}{\pi(D^2 - d^2)E}$$

14

工程力学 第八章 轴向拉伸与压缩

上次课内容

应力集中的概念  $K = \frac{\sigma_{\max}}{\sigma_n}$

许用应力与强度条件

许用应力：工作应力的最大容许值 $[\sigma]$

$[\sigma] = \frac{\sigma_s}{n}$   $n$ —安全因数(子)， $n > 1$

拉压杆强度条件：

变截面杆：  $\sigma_{\max} = \left( \frac{F_N}{A} \right)_{\max} \leq [\sigma]$

等截面杆：  $\frac{F_{N,\max}}{A} \leq [\sigma]$

拉/压载荷下的强度条件可能有所不同(因材料而异)

15

工程力学 第八章 轴向拉伸与压缩

上次课内容

强度条件的应用

三类常见的强度问题

- 校核强度：已知外力 $[\sigma]$ ， $A$ ，判断  $\sigma_{\max} = \left( \frac{F_N}{A} \right)_{\max} \stackrel{?}{\leq} [\sigma]$
- 截面设计：已知外力 $[\sigma]$ ，确定  $A \geq \frac{F_{N,\max}}{[\sigma]}$
- 确定承载能力：已知 $A, [\sigma]$ ，确定  $[F_N] = A[\sigma]$

16

工程力学 第八章 轴向拉伸与压缩

上次课内容

纵向变形与胡克定律

弹性(杨氏)模量  $\sigma = E\varepsilon$

切变模量  $\tau = G\gamma$

拉压刚度  $\Delta l = \frac{F_N l}{EA}$

胡克定律 剪切胡克定律

拉压杆的轴向应变与泊松比

$\mu = -\frac{\varepsilon'}{\varepsilon} \quad (0 \leq \mu \leq 0.5), \mu$  —— 泊松比

17

工程力学 第八章 轴向拉伸与压缩

三、多力杆的变形与叠加原理

例：已知  $E, A_1, A_2$ , 求总伸长  $\Delta l$

解方法一：各段变形叠加法

步骤：\* 内力分析, 轴力图;

\* 依据杆件的几何和内力特征分段求出变形;

\* 变形计算, 求代数数和。

$\Delta l = \Delta l_1 + \Delta l_2 + \Delta l_3 = \frac{Fl_1}{EA_1} + \frac{Fl_2}{EA_2} - \frac{Fl_3}{EA_3}$

18

工程力学 第八章 轴向拉伸与压缩

讨论:

• 阶梯形杆:  $\Delta l = \sum_{i=1}^n \frac{F_{Ni} l_i}{E_i A_i}$

$n$  — 总段数  
 $F_{Ni}$  — 杆段  $i$  轴力

• 变截面变轴力杆

$d(\Delta l) = \frac{F_N(x) dx}{EA(x)}$

$\Delta l = \int_l \frac{F_N(x)}{EA(x)} dx$

19

工程力学 第八章 轴向拉伸与压缩

例：已知  $E, A_1, A_2$ , 求总伸长  $\Delta l$  (续)

解法二：各载荷效应叠加

$\Delta l_a = -\frac{Fl_1}{EA_1} - \frac{F(l_2 + l_3)}{EA_2}$

$\Delta l_b = \frac{2Fl_1}{EA_1} + \frac{2Fl_2}{EA_2}$

$\Delta l = \Delta l_a + \Delta l_b = \frac{Fl_1}{EA_1} + \frac{Fl_2}{EA_2} - \frac{Fl_3}{EA_3}$

与解法一结果一致, 引出叠加原理

20



**叠加原理：**几个载荷同时作用所产生的总效果，等于各载荷单独作用产生的效果的总和。

### 叠加原理的适用范围

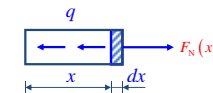
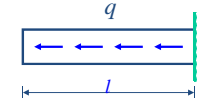
- \*材料线弹性
- \*小变形
- \*结构几何线性

21



例：已知  $q, l, E, A$ ，求  $\Delta l = ?$

- 等轴力、等截面杆的伸长
- 等轴力、非等截面杆的伸长
- 非等轴力、等截面杆的伸长



解：距端点  $x$  处截面的轴力为

$$F_N(x) = qx$$

$dx$  微段伸长

$$d(\Delta l) = \frac{F_N(x) dx}{EA} = \frac{qxdx}{EA}$$

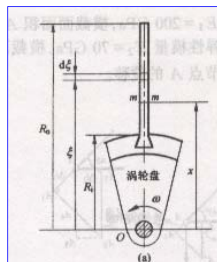
$$\text{总伸长为} \quad \Delta l = \int_0^l d(\Delta l) = \int_0^l \frac{qxdx}{EA} = \frac{ql^2}{2EA}$$

各段变形叠加法

22



例：图示涡轮叶片，已知  $A, E, \rho$ ，角速度  $\omega$ ，求叶片横截  $m-m$  面上的正应力与轴向变形。



解：1、叶片的外力(轴力)

作用于微段  $d\xi$  上的离心力为

$$dF(\xi) = \xi \omega^2 dm = \omega^2 \rho A \xi d\xi$$

$$q(\xi) = dF(\xi) / d\xi = \omega^2 \rho A \xi$$

2、叶片的内力与应力

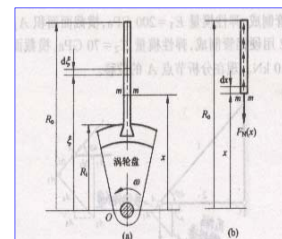
$$F_N(x) = \int_x^{R_0} q(\xi) d\xi = \int_x^{R_0} \omega^2 \rho A \xi d\xi = \frac{\omega^2 \rho A}{2} (R_0^2 - x^2)$$

23



2、叶片的内力与应力

$$F_N(x) = \int_x^{R_0} q(\xi) d\xi = \int_x^{R_0} \omega^2 \rho A \xi d\xi = \frac{\omega^2 \rho A}{2} (R_0^2 - x^2)$$



$$\sigma(x) = \frac{\omega^2 \rho}{2} (R_0^2 - x^2)$$

3、叶片的变形

$$dx \text{ 微段: } d(\Delta l) = \frac{F_N(x) dx}{EA}$$

$$\text{总伸长: } \Delta l = \int_{R_i}^{R_0} \frac{F_N(x)}{EA} dx = \frac{\omega^2 \rho}{6E} (2R_0^3 - 3R_0^2 R_i + R_i^3)$$

24



## 关于桁架的节点位移

## • 回顾理想桁架的特征

1. 节点抽象为光滑铰链
2. 桁架中的杆件为二力杆件 — 拉压杆
3. 外力(载荷及约束力)都作用于节点上

## • 桁架的节点位移

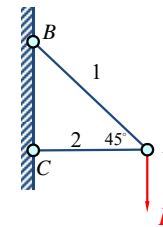
桁架的节点为多个杆件的连接点, 其位移同时受多个杆件的移动(平动+转动)和变形(伸长或缩短)的制约。

25



例: 已知  $E_1 A_1 = E_2 A_2 = EA, l_2 = l$ , 求桁架节点A的水平与铅垂位移

解: 1、轴力与变形分析



$$F_{N1} = \sqrt{2}F \quad (\text{拉})$$

$$F_{N2} = F \quad (\text{压})$$

$$\Delta l_1 = \frac{F_{N1} l_1}{E_1 A_1} = \frac{\sqrt{2}F \sqrt{2}l}{EA} = \frac{2Fl}{EA} \quad (\text{伸长})$$

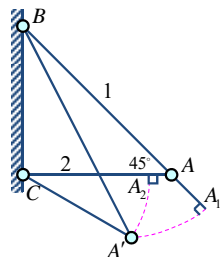
$$\Delta l_2 = \frac{F_{N2} l_2}{E_2 A_2} = \frac{Fl}{EA} \quad (\text{缩短})$$

接下来如何确定节点A的新位置(位移)?

26



## 2、节点A的位移的精确计算及其困难。



精确分析方法:

- 1、轴力难以分析;
- 2、节点位置难以确定。
- 3、需反复迭代求解。

27



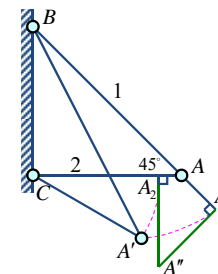
## 3、小变形问题实用(工程)解法

实用解法:

- \*按结构原几何形状与尺寸计算约束反力与内力—小变形;
- \*节点运动轨迹采用切线代曲线的方法确定节点位移。

工程分析方法:

- 1、精度略有降低;
- 2、分析极大简化。



28



工程力学 一第八章 轴向拉伸与压缩

4、节点位移计算

按“先变形 再转动”的顺序计算节点位移

$$\Delta A_x = \overline{AA_2} = \Delta l_2 = \frac{Fl}{EA} (\leftarrow)$$

$$\Delta A_y = \frac{\Delta l_1}{\cos 45^\circ} + \Delta l_2 = \frac{2\sqrt{2}Fl}{EA} + \frac{Fl}{EA}$$

$$= \frac{(2\sqrt{2}+1)Fl}{EA} (\downarrow)$$

29

工程力学 一第八章 轴向拉伸与压缩

例：ABC刚性杆，B为AC的中点，求节点C的位移。

解：先计算杆1内力  $F_{N1}$  与伸长  $\Delta l_1$

然后画B点位移

再画C点位移

$$\Delta C_y = 2\Delta B_y = 4\Delta l_1$$

30

工程力学 一第八章 轴向拉伸与压缩

例：画出节点A的位移

杆两端均为可动点情形：  
平移+变形(伸长或缩短)+转动(切线代曲线)

31

工程力学 一第八章 轴向拉伸与压缩

例：画节点A的位移

\*左图杆2不受力，不伸长转动。

•右图B点位移由杆1和2确定（与左图A点相同）；


•刚梁AB先随B点平动，B至B'点，A至A'点；然后绕B'点转动；

•杆3伸长到A''，然后转动，与刚性梁对应点交于A'''点。

32



工程力学 第八章 轴向拉伸与压缩

 清华大学

**作业**

**8- 18, 24**

33